

Compte rendu  
Projet de Calcul Scientifique Numérique

Belpois Vincent  
Chomette Hugo

# Table des matières

<b>1</b>	<b>Présentation du problème</b>	<b>3</b>
1.1	Le problème . . . . .	3
1.2	Interprétation des coefficients . . . . .	3
1.3	Mise en équation du problème . . . . .	3
<b>2</b>	<b>Choix du système de coordonnées et du maillage</b>	<b>5</b>
2.1	Comparaison des systèmes de coordonnées cartésiennes et sphériques . . . . .	5
2.1.1	Coordonnées cartésiennes . . . . .	5
2.1.2	Coordonnées sphériques . . . . .	5
2.2	Réécriture des équations adaptée au nouveau système de coordonnées . . . . .	5
2.3	Maillage de la sphère . . . . .	6
<b>3</b>	<b>Discrétisation du problème</b>	<b>7</b>
3.1	Discrétisation de l'équation de la chaleur . . . . .	7
3.2	Discrétisation des condition aux limites . . . . .	8
<b>4</b>	<b>Simulation Python</b>	<b>9</b>
4.1	Structure du code . . . . .	9
4.2	Implémentation du maillage . . . . .	9
4.2.1	Maillage et liste de maillages . . . . .	9
4.2.2	Visualisation des maillages et des simulations . . . . .	10
4.3	Implémentation des équations . . . . .	10
4.4	Simulations . . . . .	11
4.4.1	Choix des valeurs des paramètre . . . . .	11
4.4.2	Test de l'influence de certains paramertres . . . . .	11
4.4.3	Simulations . . . . .	11
<b>5</b>	<b>Conclusion</b>	<b>12</b>

# 1 Présentation du problème

## 1.1 Le problème

On modélise un thermocouple par une sphère uniforme de rayon  $a$ . Cette sphère, initialement à la température  $T_0$ , échange convectivement avec le milieu extérieur, à la température  $T_\infty$ , selon la loi  $\varphi = h(\theta)(T - T_\infty)$ .

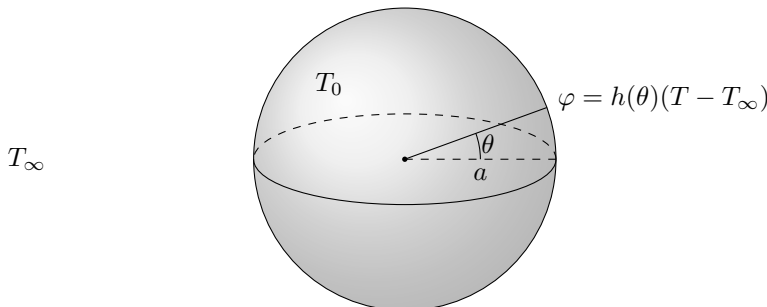


Figure 1: Schéma du Thermocouple

On cherche alors à étudier la réponse de ce thermocouple au cours du temps. Pour cela, on s'impose l'utilisation de la méthode des différences finies

## 1.2 Interprétation des coefficients

La fonction  $h(\theta)$  décrit la dépendance de la convection avec l'angle  $\theta$  entre la normale à la surface de la sphère et la direction de l'échange thermique. Plus précisément, la quantité de chaleur échangée par convection entre la sphère et le milieu extérieur est proportionnelle à la différence de température entre la sphère et le milieu extérieur, multipliée par  $h(\theta)$ .

La forme de la fonction  $h(\theta) = K(1 + \cos(\theta))$  indique que l'échange de chaleur par convection est maximale lorsque la normale à la surface de la sphère est parallèle à la direction de l'échange thermique et dans le même sens que celui-ci, c'est-à-dire lorsque  $\theta = 0^\circ$ . Dans ces cas,  $h(\theta) = K(1 + 1) = 2K$ . L'échange de chaleur par convection est minimale lorsque la normale à la surface de la sphère est dans le sens opposé à celui de l'échange thermique, c'est-à-dire lorsque  $\theta = 180^\circ$ . Dans ce cas,  $h(\theta) = K(1 - 1) = 0$ .

La constante  $K$  détermine l'intensité de l'échange de chaleur par convection pour un angle  $\theta$  donné. Plus  $K$  est grand, plus l'échange de chaleur par convection est important.  $K$  est alors exprimé en  $W.m^{-2}.K^{-1}$ , tout comme  $h(\theta)$ .

## 1.3 Mise en équation du problème

Ce problème revient alors à résoudre l'équation de la chaleur en 3 dimensions et au cours du temps. De manière générale, l'équation de la chaleur s'écrit de la manière suivante.

$$\rho C_p \left( \frac{\partial T}{\partial t} + u \cdot \nabla T \right) = \nabla \cdot (\lambda \nabla T) + s \quad (1)$$

Dans notre cas, cette équation peut être simplifiée. On a premièrement  $u = 0$  car la sphère n'est pas en mouvement. De plus,  $\lambda$  est constant, on a donc par linéarité du gradient  $\nabla(\lambda \nabla T) = \lambda \nabla^2 T$ . Enfin, le thermocouple n'étant traversé par aucun courant électrique, aucune chaleur n'est produite et son terme de source  $s$  est nul.

L'équation de la chaleur devient alors :

$$\rho C_p \frac{\partial T}{\partial t} = \lambda \nabla^2 T \quad (2)$$

On peut aussi écrire une condition à la surface de la sphère, représentant un échange convectif :

$$\varphi = h(\theta)(T - T_\infty)$$

Avec  $h(\theta)$  le coefficient de convection exprimé précédemment.

## 2 Choix du système de coordonnées et du maillage

### 2.1 Comparaison des systèmes de coordonnées cartésiennes et sphériques

#### 2.1.1 Coordonnées cartésiennes

Le système de coordonnées cartésiennes a l'avantage d'utiliser un repère orthonormé. L'expression des opérateurs tels que le laplacien est donc simple et les équations sont alors simplifiées. Cependant, si le maillage n'est pas régulier selon les trois axes du système de coordonnées cartésiennes, l'expression du pas est alors plus complexe.

#### AJOUTER PETIT REPERE CARTESIEN

#### 2.1.2 Coordonnées sphériques

Le problème décrivant une sphère, le seul système de coordonnées qui peut être intéressant à utiliser est le système de coordonnées sphériques. Ce système de coordonnées est aussi constitué de trois axes orthonormés:  $\vec{e}_r, \vec{e}_\theta, \vec{e}_\varphi$ . On utilisera alors pour décrire la position d'un point un triplet de coordonnées  $(r, \theta, \varphi)$ .

#### AJOUTER PETIT REPERE SPHERIQUE

Pour passer des coordonnées cartésiennes aux coordonnées sphériques on utilise les équations suivantes :

$$\begin{cases} r = \sqrt{x^2 + y^2 + z^2} \\ \theta = \arccos\left(\frac{z}{r}\right) \\ \varphi = \arctan\left(\frac{y}{x}\right) \end{cases} \quad (3)$$

De la même manière, pour passer des coordonnées sphériques aux coordonnées cartésiennes on utilise les équations suivantes :

$$\begin{cases} x = r \sin \theta \cos \varphi \\ y = r \sin \theta \sin \varphi \\ z = r \cos \theta \end{cases} \quad (4)$$

### 2.2 Réécriture des équations adaptée au nouveau système de coordonnées

L'équation de la chaleur Eq.(2) utilise l'opérateur laplacien ( $\Delta = \nabla^2$ ). Cet opérateur s'écrit en coordonnées cartésiennes :

$$\Delta f = \frac{\partial^2 f}{\partial x^2} + \frac{\partial^2 f}{\partial y^2} + \frac{\partial^2 f}{\partial z^2} \quad (5)$$

En coordonnées sphérique, cet opérateur s'écrit alors :

$$\Delta f = \frac{\partial^2 f}{\partial r^2} + \frac{1}{r} \frac{\partial f}{\partial r} + \frac{1}{r^2} \frac{\partial^2 f}{\partial \theta^2} + \frac{1}{r^2 \tan \theta} \frac{\partial f}{\partial \theta} + \frac{1}{r^2 \sin^2 \theta} \frac{\partial^2 f}{\partial \varphi^2} \quad (6)$$

L'équation de la chaleur Eq.(2) s'écrit alors :

$$\rho C_p \frac{\partial T}{\partial t} = \lambda \left( \frac{\partial^2 T}{\partial r^2} + \frac{1}{r} \frac{\partial T}{\partial r} + \frac{1}{r^2} \frac{\partial^2 T}{\partial \theta^2} + \frac{1}{r^2 \tan \theta} \frac{\partial T}{\partial \theta} + \frac{1}{r^2 \sin^2 \theta} \frac{\partial^2 T}{\partial \varphi^2} \right) \quad (7)$$

Dans la suite du problème on utilisera la constante  $\alpha = \frac{\lambda}{\rho C_p}$  afin de simplifier l'écriture de l'équation ci-dessus.

## 2.3 Maillage de la sphère

Une sphère peut être maillée de plusieurs manières dans un espace 3D, certains maillages favoriseront l'uniformité de la taille des mailles comme les maillages quadrangulaires ou en géode par triangulation tandis que d'autres faciliteront la résolution numérique du problème comme le maillage en sphère UV (maillage en faces rectangulaires, formé par des segments assimilables à des lignes de longitude et de latitude sur un globe).

### **AJOUTER PETIT SPHERE QUADRANGULAIRE, GEODE(ISO) et UV**

On utilisera dans le cadre de notre simulation un maillage UV de la sphère, ce modèle se prêtant très bien au système de coordonnées sphérique. Cela simplifiera les calculs et l'implémentation des équations.

Les paramètres pour construire ce maillage seront alors **Nr**, **Ntheta**, **Nphi**, représentant respectivement le nombre de mailles dans la direction  $r$ , la direction  $\theta$ , et la direction  $\varphi$

On repèrera par le triplet  $(i, j, k)$  les coordonnées du nœud du maillage de la sphère.

### 3 Discrétisation du problème

La méthode utilisée ici est la méthode des différences finies. On choisi d'utiliser l'ordre 1 afin de simplifier les expressions des termes de l'équation de la chaleur, un ordre supérieur pourra être utilisé afin d'augmenter la précision et la stabilité si nécessaire.

#### 3.1 Discrétisation de l'équation de la chaleur

On rapelle l'équation de la chaleur utilisée :

$$\frac{\partial T}{\partial t} = \alpha \nabla^2 T \quad (8)$$

Et donc en coordonées sphériques, en prenant en compte l'invariance du champ de température par rapport à  $\varphi$  :

$$\frac{\partial T}{\partial t} = \alpha \left( \frac{\partial^2 T}{\partial r^2} + \frac{1}{r} \frac{\partial T}{\partial r} + \frac{1}{r^2} \frac{\partial^2 T}{\partial \theta^2} + \frac{1}{r^2 \tan \theta} \frac{\partial T}{\partial \theta} \right) \quad (9)$$

On cherch a exprimer  $T^n$  en fonction uniquement de  $T^{n-1}$  On utilise alors un schéma arrière temporel. :

$$\frac{\partial T}{\partial t} \rightarrow \frac{T^n - T^{n-1}}{\Delta t} \quad (10)$$

On discrétise ensuite avec un schéma centré les termes issus du laplacien de la température :

$$\frac{\partial^2 T}{\partial r^2} \rightarrow \frac{T_{i+1,j,k}^{n-1} - 2T_{i,j,k}^{n-1} + T_{i-1,j,k}^{n-1}}{\Delta r^2} \quad (11)$$

$$\frac{1}{r} \frac{\partial T}{\partial r} \rightarrow \frac{1}{r_i} \frac{T_{i+1,j,k}^{n-1} - T_{i-1,j,k}^{n-1}}{\Delta r} \quad (12)$$

$$\frac{1}{r^2} \frac{\partial^2 T}{\partial \theta^2} \rightarrow \frac{1}{r_i^2} \frac{T_{i,j+1,k}^{n-1} - 2T_{i,j,k}^{n-1} + T_{i,j-1,k}^{n-1}}{\Delta \theta^2} \quad (13)$$

$$\frac{1}{r^2 \tan \theta} \frac{\partial T}{\partial \theta} \rightarrow \frac{1}{r_i^2 \tan \theta_j} \frac{T_{i,j+1,k}^{n-1} - T_{i,j-1,k}^{n-1}}{2\Delta \theta} \quad (14)$$

On peut alors exprimer  $T^n$  :

$$T^n = \alpha \Delta t \left( \frac{T_{i+1,j,k}^{n-1} - 2T_{i,j,k}^{n-1} + T_{i-1,j,k}^{n-1}}{\Delta r^2} + \frac{1}{r_i} \frac{T_{i+1,j,k}^{n-1} - T_{i-1,j,k}^{n-1}}{\Delta r} + \frac{1}{r_i^2} \frac{T_{i,j+1,k}^{n-1} - 2T_{i,j,k}^{n-1} + T_{i,j-1,k}^{n-1}}{\Delta \theta^2} + \frac{1}{r_i^2 \tan \theta_j} \frac{T_{i,j+1,k}^{n-1} - T_{i,j-1,k}^{n-1}}{2\Delta \theta} \right) + T^{n-1} \quad (15)$$

### 3.2 Discrétisation des condition aux limites

On doit par la suite discrétiser notre condition à la surface de la sphère que l'on rappelle être :

$$\varphi = h(\theta)(T - T_\infty) \quad (16)$$

On a donc par la loi de Fourier :

$$h(\theta)(T(r = a) - T_\infty) = -\lambda \left. \frac{\partial T}{\partial r} \right|_{r=a} \quad (17)$$

On a alors, par les discrétisation des dérivées partielles précédentes :

$$T_{i,j,k}^n = \left( h(\theta) + \frac{\lambda}{\Delta r} \right)^{-1} \cdot \left( h(\theta)T_\infty + \lambda \frac{T_{i-1,j,k}}{\Delta r} \right) \quad (18)$$

Les équations Eq.(15)et Eq.(18) nous permettront alors d'exprimer, en tout point de la sphère, la température en fonction des températures de la sphère l'instant précédent



## 4 Simulation Python

Pour implémenter une telle simulation, nous avons utilisé Python comme langage de programmation pour sa facilité et sa capacité à visualiser des données à l'aide de bibliothèques simples. La capacité à exécuter du code sans compiler nous a aussi permis d'itérer plus rapidement et de déboguer simplement le code.

### 4.1 Structure du code

Le code est composé de quelques fonctions simples et notre situation ne semblait pas demander d'introduire de la programmation orientée objet, car nous avons décidé de représenter les maillages et les simulations comme de simples tableaux `numpy`.

Ainsi, on commence d'abord par fixer nos constantes de la simulation comme les paramètres de maille, les constantes du matériau considéré, les températures ( $T_0$  et  $T_\infty$ ), le facteur de convection, etc...

On construit ensuite le maillage de la sphère.

Enfin on itère la simulation en stockant chaque maillage de la simulation dans une liste.

Finalement, on affiche cette simulation et on enregistre une animation de celle-ci.

### 4.2 Implémentation du maillage

#### 4.2.1 Maillage et liste de maillages

Chaque maillage de la sphère est représenté par un tableau `numpyarray` de dimension 4. Les 3 premières coordonnées sont utilisées pour la position (soit  $x, y, z$  soit  $r, \theta, \varphi$ ) tandis que la quatrième est utilisée pour représenter la température de ce nœud. Ainsi on crée un objet `maillage` de la manière suivante :

```
maillage = np.zeros((Nr, Ntheta, Nphi, 4))
maillage[:, :, :, 3] = T0 #set every node temperature to T_0
for i in range(Nr):
    for j in range(Ntheta):
        for k in range(Nphi):
            maillage[i, j, k, 3] = ((i)*a/(Nr), (j+0.5)*math.pi/Ntheta, 2*k*math.pi/Nphi)
```

Les coordonnées sont alors données par Eq.(4). On initialise tous les nœuds à la température  $T_0$ , température initiale du thermocouple supposé uniforme.

On introduit aussi une fonction permettant d'obtenir le maillage constitué des coordonnées cartésiennes de chaque nœud afin de par la suite pouvoir visualiser ce maillage :

```
def polar_to_cartesian(polar):
    cart = np.copy(polar)
    cart[:, :, :, 0] = polar[:, :, :, 0] * np.sin(polar[:, :, :, 1]) * np.cos(polar[:, :, :, 2])
    cart[:, :, :, 1] = polar[:, :, :, 0] * np.sin(polar[:, :, :, 1]) * np.sin(polar[:, :, :, 2])
    cart[:, :, :, 2] = polar[:, :, :, 0] * np.cos(polar[:, :, :, 1])
    return cart
```

On construit alors une simulation comme étant une liste de différents maillages (les maillages sont physiquement identiques mais la valeur de la température à chaque nœud est différente). Cela peut se voir dans la fonction `simulation` qui ajoute à la liste de maillage, le nouveau maillage calculé par la fonction `compute_next_step`:

```
def simulation():
    dt = 0.000001
    meshes = []
    meshes.append(maillage)
    for i in range(25000):
        print(i)
        meshes.append(compute_next_step(meshes[i], dt))
    return meshes
```

`meshes` est alors l'ensemble des maillages de notre simulation.

### 4.2.2 Visualisation des maillages et des simulations

On a décidé d'utiliser la librairie `matplotlib` afin de visualiser nos données car cette librairie peut à la fois permettre de réaliser des visualisation 3D et de simples graphs 2D.

```
from mpl_toolkits.mplot3d import Axes3D
import matplotlib.animation

fig = plt.figure()
fig.set_figheight(15)
fig.set_figwidth(15)
ax = fig.add_subplot(111, projection='3d')

ax.axes.set_xlim3d(left=-0.004, right=0.004)
ax.axes.set_ylim3d(bottom=-0.004, top=0.004)
ax.axes.set_zlim3d(bottom=-0.004, top=0.004)

norm = matplotlib.colors.Normalize(vmin=380, vmax=451)
```

On commence par initialiser une figure avec une projection de type '3d'. On fixe alors les limites de l'affichage. Et enfin, on crée la variable `norm` qui sera utilisé lors de l'affichage des températures par une plage de couleurs.

On doit alors, pour afficher une animation des points qui changent de couleur au cours du temps, créer une fonction qui met à jour la visualisation, et change les données envoyés à `matplotlib` :

```
def update_graph(num):
    factor = 100
    global k
    mesh_c = polar_to_cartesian((simulation_meshes[num*factor]))
    graph._offsets3d = mesh_c[:, :, :, 0].ravel(), mesh_c[:, :, :, 1].ravel(), mesh_c[:, :, :, 2].ravel()

    graph.set_facecolor(cmap_inferno(norm(mesh_c[:, :, :, 3].ravel())))

    title.set_text('3D Test, num={}'.format(num*factor))
    return title, graph,
```

Le paramètre `factor` est utilisé pour n'afficher que certaines étapes de la simulation, ici toutes les 100 mises à jours du maillage. Dans le cas contraire, la visualisation de l'entièreté de la simulation prendrait des heures.

On peut alors afficher la simulation de la manière suivante :

```
mesh_c = polar_to_cartesian((simulation_meshes[0]))
graph = ax.scatter(mesh_c[:, :, :, 0].ravel(), mesh_c[:, :, :, 1].ravel(), mesh_c[:, :, :, 2].ravel())

ani = matplotlib.animation.FuncAnimation(fig, update_graph, 249, blit=False)

plt.show()
ani.save("simulation.gif", fps=10)
```

Ici, 249 représente la dernière itération de la simulation que l'on souhaite voir (qui sera multiplié par `factor` et donc représente ici l'itération 24900). On sauvegarde aussi l'animation créée pour de prochaines visualisations.

## 4.3 Implémentation des équations

Les équations discutés dans les parties précédentes sont implémentés dans la fonction `compute_next_step`. Cette fonction prend en paramètre le maillage au temps  $n$  et le pas temporel  $\Delta t$  et renvoie le nouveau maillage au temps  $n + 1$ .

Dans l'extrait de code qui suit, certaines parties ont été omises afin d'en faciliter la lecture. En effet on remarque que plusieurs cas selon la valeur de  $i$  ont été dissociés. Cela est dû au fait que l'expression du laplacien en diffère en 0 et la présence de la condition à la surface de la sphère (en  $r = a$ ). On remarque aussi que des distinctions de cas ont été faites selon la valeur de  $j$ . Cela provient des problèmes d'indices ; les indices ne forment pas une boucle lorsque que l'on atteint le dernier indice.

```

def compute_next_step(p_mesh, dt):
    Nr, Ntheta, Nphi, _ = np.shape(p_mesh)
    n_mesh = np.copy(p_mesh)

    Delta_r = a / Nr
    Delta_theta = math.pi / Ntheta
    Delta_phi = 2 * math.pi / Nphi
    for i in range(0, Nr):
        if i == 0:
            ...
        elif i == Nr - 1:
            ...
        else:
            r = i * Delta_r
            for j in range(Ntheta):
                theta = (j+1.5) * Delta_theta
                if j == 0:
                    ...

                elif j == Ntheta - 1:
                    ...

            else:
                for k in range(Nphi):
                    phi = (k+1) * Delta_phi
                    n_mesh[i,j,k,3] = alpha * dt *
                    ((p_mesh[i+1,j,k,3]-2*p_mesh[i,j,k,3]+p_mesh[i-1,j,k,3])/(Delta_r**2)
                    + 1/r*(p_mesh[i+1,j,k,3]-p_mesh[i-1,j,k,3]) / Delta_r
+ 1/r**2 * (p_mesh[i,j+1,k,3] - 2 * p_mesh[i,j,k,3] + p_mesh[i,j-1,k,3]) / (Delta_theta**2)
+ 1/(r**2 * math.tan(theta)) * p_mesh[i,j+1,k,3] - p_mesh[i,j-1,k,3] / (2* Delta_theta))
+ p_mesh[i,j,k,3]

    return n_mesh

```

## 4.4 Simulations

### 4.4.1 Choix des valeurs des paramètres

Choix des pas, des dimensions, de Delta t, du temps de simulation

### 4.4.2 Test de l'influence de certains paramètres

### 4.4.3 Simulations

## 5 Conclusion

Conclure sur la méthode utilisé, l'implémentation, la convainance des résultats.

Finir sur ce que cela nous a appris, la facilitée d'implémenter vs la difficulté à discrétiser le problème et choisir la valeur des paramètres